

# Projet AMSX01

## Résolution numérique de problèmes elliptiques avec diverses conditions aux limites.

Valentin Michel

octobre 2021

### 1 Conditions de type Neumann

#### 1.1 Formulation variationnelle

Soit  $\Omega$  un ouvert borné à frontière polygonale de  $\mathbb{R}^2$ ,  $A$  un tenseur qui est uniformément borné

$$\exists C > 0, \forall (x, y) \in \Omega, \forall i, j, |A_{ij}(x, y)| \leq C$$

et satisfait l'hypothèse de coercivité uniforme

$$\exists c > 0, \forall (x, y) \in \Omega, \forall \xi \in \mathbb{R}^2, A(x, y)\xi \cdot \xi \geq c|\xi|^2$$

et  $f \in L^2(\omega)$ . On s'intéresse à la résolution numérique du problème de Poisson avec coefficients variables et condition aux limites de Neumann :

Trouver  $u \in H^1(\Omega)$  telle que

$$\begin{cases} u - \nabla \cdot (A(x, y)\nabla u) = f & \text{dans } \Omega \\ A(x, y)\nabla u \cdot n = 0 & \text{sur } \partial\Omega \end{cases} \quad (1)$$

où  $n$  est la normale unitaire sortante à  $\Omega$ . On peut réécrire le problème de Poisson (Equation 1) sous la forme variationnel. Il suffit de multiplier l'équation volumique par une fonction test  $v \in H^1(\Omega)$ , d'intégrer sur  $\Omega$  et d'utiliser une formule de Green. On trouve alors la formulation variationnelle suivante :

Trouver  $u \in H^1(\Omega)$  telle que

$$\forall v \in H^1(\Omega), \underbrace{\int_{\Omega} uv d\Omega + \int_{\Omega} A\nabla u \cdot \nabla v d\Omega}_{a(u, v)} = \underbrace{\int_{\Omega} f v d\Omega}_{l(v)} \quad (2)$$

Les termes de bords de la formule de Green sont nuls grâce à la conditions aux limites de Neumann. On peut montrer en utilisant le théorème de Lax-Milgram que le problème 2 est bien posé. En effet,  $H^1(\omega)$  muni de son produit scalaire est un espace de Hilbert.  $a$  est une forme bilinéaire continue sur  $H^1(\Omega)$  car  $A$  est uniformément borné et par l'inégalité de Cauchy-Schwarz :

$$\forall u, v \in H^1(\Omega), |a(u, v)| \leq \max(1, C) | \langle u, v \rangle_{H^1(\Omega)} | \leq \max(1, C) \|u\|_{H^1} \|v\|_{H^1}$$

$a$  est coercive car  $A$  satisfait l'hypothèse de coercivité uniforme :

$$\forall u \in H^1(\Omega), |a(u, u)| \geq \min(1, c) | \langle u, u \rangle_{H^1(\Omega)} | \geq \min(1, c) \|u\|_{H^1}^2$$

$l$  est une forme linéaire continue car par l'inégalité de Cauchy-Schwarz :

$$\forall u \in H^1(\Omega), |b(v)| \leq \|f\|_{L^2(\Omega)} \|v\|_{L^2(\Omega)} \leq \|f\|_{L^2(\Omega)} \|v\|_{H^1(\Omega)}$$

Ainsi le problème variationnelle a une unique solution. De plus cette solution dépend continuellement de la donnée :

$$0 < \min(1, c)\|u\|_{H^1(\Omega)} \leq \max(1, C)\|f\|_{L^1(\Omega)}$$

Le problème est donc bien posé.

## 1.2 Discrétisation

Soit  $\mathcal{T}_h$  une triangulation du domaine  $\Omega$ , et  $V_h$  l'approximation de  $H^1(\Omega)$  par des éléments finis  $P^1$  associé à la triangulation  $\mathcal{T}_h$ . On note  $(T_l)_{l=1,L}$  les triangles de  $\mathcal{T}_h$ ,  $(S_I)_{I=1,N}$  les sommets des triangles et  $(w_I)_{I=1,N}$  la base de  $V_h$  définie par  $w_I(S_J) = \delta_{IJ}$ ,  $1 \leq I, J \leq N$ . On peut ainsi écrire une formulation variationnelle discrète : *Trouver  $u_h \in V_h$  telle que*

$$\forall v_h \in V_h, a(u_h, v_h) = l(v_h) \quad (3)$$

Par construction, la solution approchée s'écrit sous la forme

$$\forall (x, y) \in \bar{\Omega}, u_h(x, y) = \sum_{I=1}^N u_h(S_I) w_I(x, y)$$

On peut réécrire la formulation variationnelle discrète :

$$\sum_{I=1}^N \sum_{J=1}^N a(w_I, w_J) u_h(S_I) v_h(S_J) = \sum_{J=1}^N l(w_J) v_h(S_J)$$

Et en identifiant chaque terme de la somme sur  $J$  on trouve :

$$\sum_{I=1}^N \underbrace{\int_{\Omega} w_I w_J d\Omega}_{\mathbb{M}_{IJ}} + \underbrace{\int_{\Omega} A \nabla w_I \cdot \nabla w_J}_{\mathbb{K}_{IJ} d\Omega} \underbrace{u_h(S_I)}_{\vec{U}_I} = \underbrace{\int_{\Omega} f w_J d\Omega}_{\vec{L}_J}$$

La formulation variationnelle discrète se réécrit donc sous la forme d'un système linéaire équivalent

$$(\mathbb{M} + \mathbb{K}) \vec{U} = \vec{L} \quad (4)$$

de solution le vecteur  $\vec{U} \in \mathbb{R}^N$  dont la  $I^{\text{ème}}$  composante vaut  $u_h(S_I)$ .  $\mathbb{M}$  est appelé la matrice de masse et  $\mathbb{K}$  la matrice de rigidité. Pour résoudre ce problème, on s'appuie sur **Matlab**. La routine **pricipal\_neumann.m** sera le programme principal pour résoudre 4.

## 1.3 Maillages

On veut résoudre le problème dans un ouvert  $\Omega$  qui est carré. Pour mailler  $\Omega$ , on choisit le mailleur **Gmsh**. Pour réaliser les calculs, on s'appuie sur **Matlab**. En **Matlab**, la routine **lecture\_msh.m** permet de lire et de récupérer des données du maillage. Les données de sortie sont :

- **Nbpt** : Nombre de sommets (noeuds) du maillage.
- **Nbtri** : Nombre de triangle (simplexe) du maillage.
- **Nbaretes** : Nombre d'aretes du maillage.
- **Coorneu** : Tableau des coordonnées des sommets (noeuds) du maillage.
- **Numtri** : Tableau des indices des sommets d'un triangle (simplexe) dans le tableau **Coorneu**.

- **Numaretes** : Tableau des indices des sommets d'une aretes dans le tableau **Coorneu**.
- **Refneu** : Références des sommets (noeuds) du maillage. La référence correspond par exemple a un domaine. Si le plan est coupé en deux domaine alors certain sommets seront dans le domaine 1 et d'autre dans le domaine 2.
- **Reftri** : De même que **Refneu** mais pour les triangles (simplexes)
- **Refaretes** : De même que **Refneu** mais pour les aretes

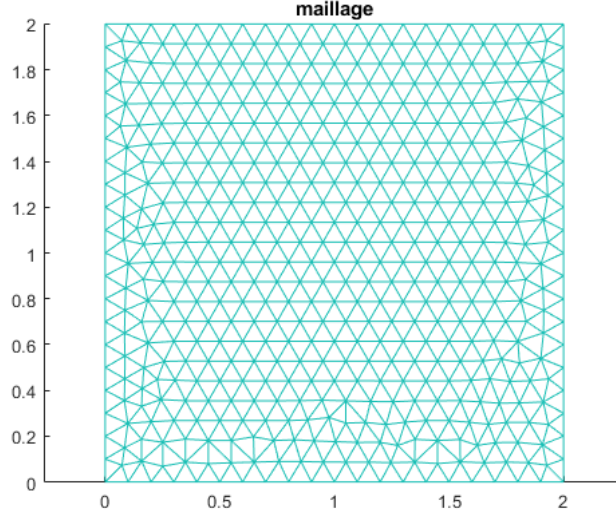


Figure 1: Maillage d'un carré de coté 2 à l'aide de **Gmsh** pour un pas de maillage  $h = 0.1$

La Figure 1 présente un exemple de maillage généré par **Gmsh**.

## 1.4 Matrice $\mathbb{K}$ et $\mathbb{M}$ , cas constant

### 1.4.1 Calcul des Matrices élémentaires

On considère pour l'instant le cas  $A = 1$ . Une méthode pour calculer les matrices  $\mathbb{K}$  et  $\mathbb{M}$  consiste à calculer des matrices dites élémentaires  $\mathbb{K}^{elem}$  et  $\mathbb{M}^{elem}$ . Les matrices élémentaires sont de taille  $3 \times 3$  et s'écrivent :

$$\mathbb{M}_{IJ}^{elem} = \int_{T_l} w_I w_J dT_l \text{ et } \mathbb{K}_{IJ}^{elem} = \int_{T_l} \nabla w_I \cdot \nabla w_J dT_l$$

Les matrices élémentaires correspondent aux matrices de masse et de rigidité sur un seul triangle. Pour calculer les matrices de masse et de rigidité, on peut calculer les matrices élémentaire et les assembler par la suite. Pour calculer ces intégrales on exprime les fonctions de base locales qui sont égales aux coordonnées barycentriques  $\lambda_1$ ,  $\lambda_2$  et  $\lambda_3$  associés au triangle  $T_l$ . En un point  $(x, y)$  du triangle, celles-ci et leur gradient sont données par les formules suivante :

$$\begin{aligned} \lambda_1(x, y) &= \frac{1}{D}(y_{23}(x - x_3) - x_{23}(y - y_3)) & \nabla \lambda_1(x, y) &= \frac{1}{D} \begin{pmatrix} y_{23} \\ -x_{23} \end{pmatrix} \\ \lambda_2(x, y) &= \frac{1}{D}(y_{31}(x - x_1) - x_{31}(y - y_1)) & \nabla \lambda_2(x, y) &= \frac{1}{D} \begin{pmatrix} y_{31} \\ -x_{31} \end{pmatrix} \end{aligned}$$

$$\lambda_3(x, y) = \frac{1}{D}(y_{12}(x - x_2) - x_{12}(y - y_2)) \quad \nabla \lambda_3(x, y) = \frac{1}{D} \begin{pmatrix} y_{12} \\ -x_{12} \end{pmatrix}$$

où  $x_{ij} = x_i - x_j$ ,  $y_{ij} = y_i - y_j$  pour  $i$  et  $j$  différents dans  $\{1, 2, 3\}$ , et  $D = x_{23}y_{31} - x_{31}y_{23}$ .  $D$  est égal, au signe près, à deux fois la surface du triangle. On voit bien ici que les gradients sont constants. Ainsi la matrice de rigidité élémentaire prend la forme suivante :

$$\mathbb{K}_{IJ}^{elem} = aire(T_l) \nabla \lambda_I \cdot \nabla \lambda_J = \frac{D}{2} \nabla \lambda_I \cdot \nabla \lambda_J \quad (5)$$

Il est alors possible d'implémenter une fonction matlab **matK\_elem** qui à partir des coordonnées de 3 sommets  $S_1$ ,  $S_2$  et  $S_3$ , calcule la matrice  $\mathbb{K}^{elem}$ . Le calcul de la matrice de masse élémentaire est un peu plus compliqué. En effet, les fonctions de base locales sont dans  $\mathbb{P}^1$ , ainsi le produit de deux fonctions de base locales sont dans  $\mathbb{P}^2$ . Pour calculer les coefficients de la matrice de masse élémentaire on peut faire appel aux formules de quadratures :

$$\int_{T_l} F d\Omega = \frac{aire(T_l)}{3} \left( F\left(\frac{S_1 + S_2}{2}\right) + F\left(\frac{S_1 + S_3}{2}\right) + F\left(\frac{S_2 + S_3}{2}\right) \right) \quad \text{pour } F \in \mathbb{P}^2 \quad (6)$$

On montre alors qu'en réalité  $\mathbb{M}_{IJ}^{elem}$  ne dépend pas de  $I$  et  $J$  explicitement :

$$\mathbb{M}_{IJ}^{elem} = \frac{(1 + \delta_{IJ})D}{24} \quad (7)$$

avec  $\delta_{IJ} = 1$  si  $I = J$  et 0 sinon. On peut donc implémenter la fonction **matM\_elem** qui retourne la matrice élémentaire d'un triangle  $T_l$  à partir de la donnée de ses trois sommets. En pratique, on a uniquement besoin de l'aire du triangle.

#### 1.4.2 Assemblage des matrices

Une fois les fonctions **matM\_elem** et **matK\_elem** implémenter, on peut créer une boucle sur les triangles (simplexes). Voici le pseudo-code associé à la phase d'assemblage des matrices :

```

M=0, K=0
Pour l=1,L:
    S_1, S_2 et S_3 sommets du triangle l
    Calcul des matrice elementaire Melem et Kelem
    Pour i=1,3:
        I = global(i,l)
        Pour j=1,3:
            J = global(j,l)
            M(I,J)=M(I,J)+Melem(i,j)
            K(I,J)=K(I,J)+Kelem(i,j)
        Fin Pour j
    Fin Pour i
Fin Pour l

```

#### 1.5 Le second membre $\vec{L}$

Une fois les matrices de masse et de rigidité calculer, il reste le second membre à déterminer. Pour réaliser ce calcul, on admet que quand on remplace  $f$  par son interpolée  $\pi_h f$  de  $V_h$ , l'approximation par des éléments finit  $\mathbb{P}^1$  du problème n'est pas altérée. On peut récrire  $f$  comme étant  $\pi_h f(x, y) = \sum_i f(S_i) w_i(x, y)$ . Ainsi le second membre se réécrit :

$$\vec{L}_J = \sum_{I=1}^N \underbrace{\int_{\Omega} w_I w_J d\Omega}_{\mathbb{M}_{IJ}} \underbrace{f(S_I)}_{\vec{F}_I} = (\mathbb{M} \vec{F})_J$$

Ainsi le vecteur  $\vec{L}$  du second membre se réécrit :

$$\vec{L} = \mathbb{M}\vec{F} \quad (8)$$

Pour calculer le second membre il suffit donc de calculer le vecteur  $\vec{F} = (f(S_I))_{I=1,N}$ . On peut donc implémenter la fonction matlab  $\mathbf{f}$  qui prend en entrée les coordonnées d'un point et renvoie la valeur de  $f$  en ce point. On peut alors calculer  $\vec{L}$  juste après l'assemblage de la matrice  $\mathbb{M}$ .

## 1.6 Validation

On veut vérifier que le code calcule une solution approchée  $u_h$  correct. Pour cela, on résout le problème 1 avec  $A = 1$  et une solution  $u$  connue égale à  $u(x, y) = \cos(\pi x) \cos(2\pi y)$ , pour  $(x, y) \in \Omega$ . Il faut donc prendre le terme source  $f$  de la forme :

$$f(x, y) = (1 + 5\pi^2) \cos(\pi x) \cos(2\pi y)$$

On obtient alors le résultat suivant :

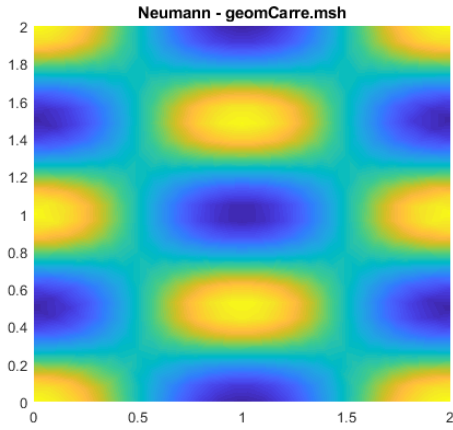


Figure 2: Résultats de la méthode des éléments finis pour le cas test

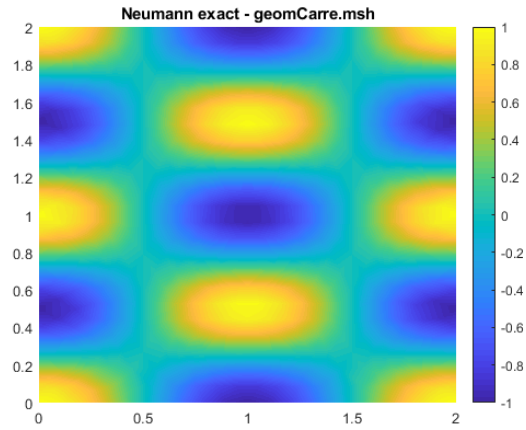


Figure 3: Solution exact du cas test

La comparaison visuelle est une première validation. Elle n'est cependant pas suffisante. Un moyen de valider le code est d'estimer l'erreur  $L^2$  et  $H^1$ . Pour cela on assimile  $u$  à son interpolée  $\pi_h u$ . Ainsi pour la norme  $L^2$  on trouve :

$$\|u - u_h\|_{L^2(\Omega)}^2 = \|\pi_h u - u_h\|_{L^2(\Omega)}^2 = \int_{\Omega} (\pi_h u - u_h)^2 d\Omega = \sum_{I=1}^N \sum_{J=1}^N (\pi_h u - u_h)_I \underbrace{\int_{\Omega} w_I w_J d\Omega}_{\mathbb{M}_{I,J}} (\pi_h u - u_h)_J$$

d'où au final l'erreur  $L^2$  se réécrit :

$$\|u - u_h\|_{L^2(\Omega)}^2 \simeq (\vec{U} - \vec{U}_h)^T \mathbb{M} (\vec{U} - \vec{U}_h) \quad (9)$$

De même on peut estimer l'erreur  $H^1$ . Pour cela il suffit de prendre la norme  $H^1$  qui fait apparaître les matrices de masse et de rigidité. Ainsi l'erreur  $H^1$  s'écrit :

$$\|u - u_h\|_{H^1(\Omega)}^2 \simeq (\vec{U} - \vec{U}_h)^T (\mathbb{M} + \mathbb{K}) (\vec{U} - \vec{U}_h) \quad (10)$$

On peut alors calculer les erreurs pour le cas test. On trouve alors  $\|u - u_h\|_{L^2(\Omega)}^2 \simeq 0.0013$  et  $\|u - u_h\|_{H^1(\Omega)}^2 \simeq 0.0527$ .

## 1.7 Matrice $\mathbb{K}$ et $\mathbb{M}$ , cas variable

On considère maintenant le cas général  $A = A(x, y)$ . Une nouvelle difficulté apparaît dans le calcul des matrices élémentaires : la prise en compte des coefficients variables. En effet, les intégrales

$$\int_{T_l} A(M) \nabla w_I(M) \cdot \nabla w_J(M) d\Omega$$

ne peuvent pas toujours être calculées exactement. Nous allons approcher ces intégrales à l'aide de formules de quadratures dites à  $N$  points : pour  $F$  une fonction continue par morceaux de  $T_l$

$$\int_{T_l} F d\Omega \simeq \sum_{q=1}^N w_l^q F(M_l^q)$$

où  $M_l^q$  sont des points de quadrature dans  $T_l$  et  $w_l^q$  les poids positifs associés aux points de quadrature (Gauss, Gauss-Lobatto, ...) qui fournissent des approximations des intégrales. Ces méthodes se différencient par le fait qu'elles intègrent exactement les polynômes d'un ordre donné, ce qui caractérise leur précision. On utilisera ici la formule de quadrature à 4 points de Gauss Lobatto qui est d'ordre 3 et qui est définie sur le triangle de référence  $\hat{T}$  par

$$\begin{array}{c|c|c|c|c} \hat{M}^q & (1/3, 1/3) & (1/5, 1/5) & (1/5, 3/5) & (3/5, 1/5) \\ \hline \hat{\omega}^q & -9/32 & 25/96 & 25/96 & 25/96 \end{array}$$

Pour chaque triangle  $T_l$ , nous allons utiliser la transformation géométrique  $F_l$  qui envoie le triangle de référence  $\hat{T}$  dans  $T_l$ . EN effectuant le changement de variable  $M = F_l(\hat{M})$ , l'intégrale sur  $T_l$  devient

$$\begin{aligned} \int_{T_l} A(M) \nabla w_I(M) \cdot \nabla w_J(M) d\Omega = \\ \int_{\hat{T}} A(F_l(\hat{M})) [dF_l(\hat{M})^T]^{-1} \nabla \hat{w}_I(\hat{M}) \cdot [dF_l(\hat{M})^T]^{-1} \nabla \hat{w}_J(\hat{M}) |\det dF_l(\hat{M})| d\hat{\Omega} \end{aligned} \quad (11)$$

où  $dF_l(\hat{M})$  est la matrice jacobienne en  $\hat{M}$ . On peut ainsi modifier le calcul de la matrice de rigidité élémentaire (`matK_elem`).

## 1.8 Validation

On cherche maintenant à valider le calcul dans le cas variable. Pour cela, on peut d'abord calculer la solution avec  $A = 1$ . On trouve alors, pour un maillage  $h = 0.1$ ,  $\|u - u_h\|_{L^2(\Omega)}^2 \simeq 0.0013$  et  $\|u - u_h\|_{L^2(\Omega)}^2 \simeq 0.0527$ . On trouve les mêmes erreurs que dans la partie validation précédente ce qui est normal puisqu'on avait supposé  $A = 1$ . On trouve la même solution pour  $A = I_2$  l'identité. Cela confirme que l'algorithme fonctionne correctement. Pour le calcul de la norme  $H^1$ , il faut prendre la matrice  $\mathbb{K}$  dans le cas  $A = 1$ .

On veut maintenant valider le cas où  $A$  est quelconque. Pour cela, on choisit  $A(x, y) = \sin(2\pi x) \sin(2\pi y) + 2$ . On peut alors prendre par exemple  $u(x, y) = \cos(2\pi x) \cos(2\pi y)$ . On doit donc prendre le terme sources de la forme :

$$f(x, y) = \cos(2\pi x) \cos(2\pi y) + 16\pi \cos(2\pi x) \cos(2\pi y) (\sin(2\pi x) \sin(2\pi y) + 1)$$

On trouve alors dans ce cas  $\|u - u_h\|_{L^2(\Omega)}^2 \simeq 0.0154$  et  $\|u - u_h\|_{L^2(\Omega)}^2 \simeq 0.2389$ . Pour un même pas de maillage, les erreurs sont 10 fois plus importantes. Les résultats visuels sont affichés sur les Figures 4 et 5

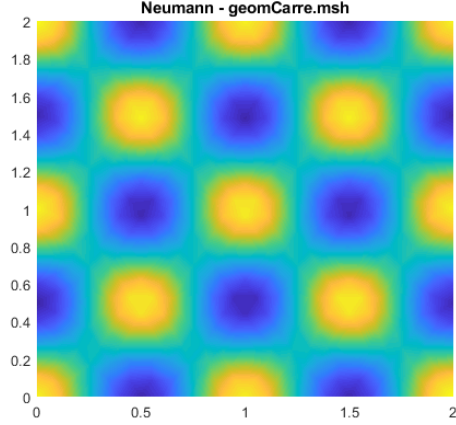


Figure 4: Résultats de la méthode des éléments finis pour le cas test avec  $A$  variables

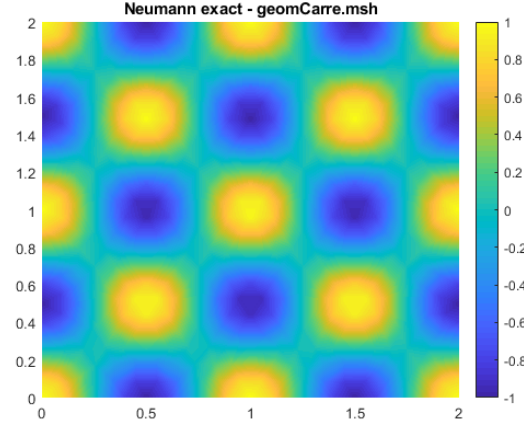


Figure 5: Solution exact du cas test

Pour vérifier la convergence, on peut tracer les relations  $\log(1/h) \rightarrow \log(\|u - u_h\|_{L^2(\Omega)} / \|u\|_{L^2(\Omega)})$  et  $\log(1/h) \rightarrow \log(|u - u_h|_1 / |u|_1)$  en supposant qu'on peut assimiler  $u$  à son interpolé  $\pi_h u$ . Avec  $|\cdot|_1 = \|\cdot\|_{H^1(\Omega)} - \|\cdot\|_{L^2(\Omega)}$  la semi norme  $H^1$ . La Figure 6 présente ces relations. On voit bien ici que lorsque  $h$  diminue les erreurs diminuent rapidement. La vitesse de convergence est donnée par la pente des courbes. La pente de la courbe d'erreur pour la norme  $L^2$  est  $-2.5097$  et la pente de la courbe d'erreur pour la norme  $H^1$  est  $-1.7888$ . L'erreur  $L^2$  semble décroître plus rapidement que l'erreur  $H^1$ . Ce résultat atteste que l'erreur est contrôlée par la norme de la solution et par le pas du maillage  $h$ .

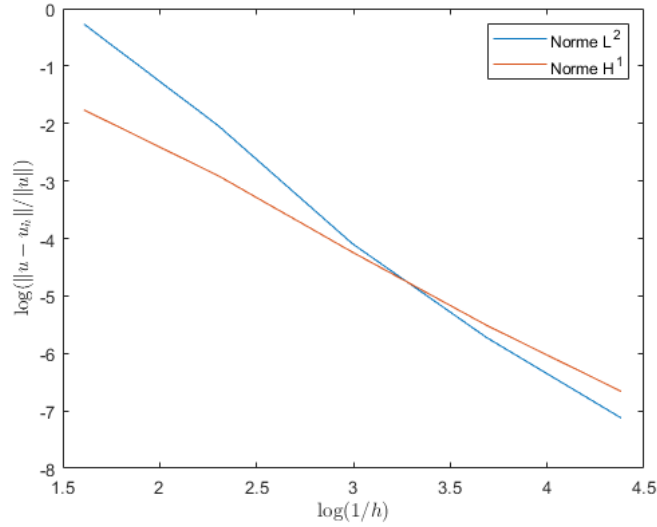


Figure 6:  $\log(\|u - u_h\|_{L^2(\Omega)} / \|u\|_{L^2(\Omega)})$  et  $\log(|u - u_h|_1 / |u|_1)$  en fonction de  $\log(1/h)$

On peut aussi observer comment impacte  $A$  sur la solution. Pour cela, on peut juste prendre  $A$  de la forme  $A_n = \sin(2^n \pi x) \sin(2^n \pi y) + 2$  pour un  $f$  quelconque. Les résultats sont affichés sur la Figure 7.

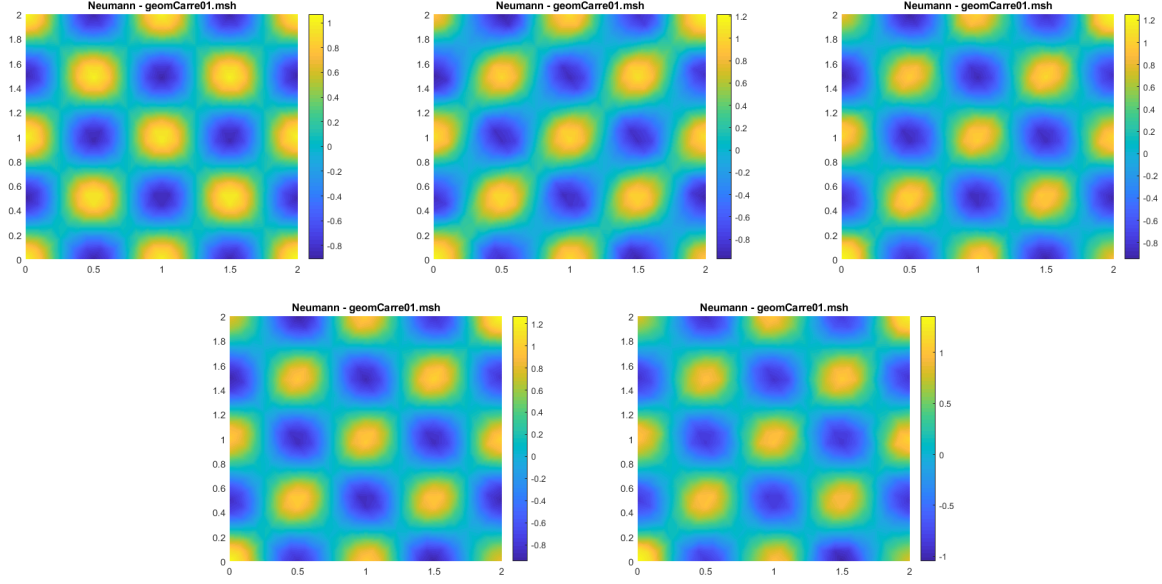


Figure 7: Solution pour  $2^n = 2, 4, 8, 16, 32$  successivement

La valeur de  $n$  semble avoir une influence négligeable sur la solution. Lorsqu'on augmente  $n$ , on augmente la fréquence de  $A$ . On peut donc voir  $n$  comme un facteur d'échelle. En effet  $A$  dépend de  $x/\epsilon$  avec  $\epsilon = 2^{-n}$ , ainsi quand  $\epsilon \rightarrow 0$ , l'algorithme converge vers une solution macroscopique. On ne voit plus les variations dues à l'échelle  $\epsilon$ .

## 2 Conditions de type Dirichlet

### 2.1 Formulation variationnelle

On s'intéresse maintenant à la résolution numérique du problème de Poisson avec condition aux limites de Dirichlet :

Trouver  $u \in H^1(\Omega)$  telle que

$$\begin{cases} u - \nabla \cdot (A \nabla u) = f & \text{dans } \Omega \\ u = 0 & \text{sur } \partial\Omega \end{cases} \quad (12)$$

Le problème se met sous forme variationnelle équivalente :

Trouver  $u \in H_0^1(\Omega)$  telle que

$$\forall v \in H_0^1(\Omega), \underbrace{\int_{\Omega} u v d\Omega + \int_{\Omega} A \nabla u \cdot \nabla v d\Omega}_{a(u,v)} = \underbrace{\int_{\Omega} f v d\Omega}_{l(v)} \quad (13)$$

Comme pour le cas de Neumann, le problème est bien posé. En effet  $H_0^1(\Omega)$  muni de la norme  $\|\cdot\|_{H^1(\Omega)}$  est bien un espace de Hilbert en tant que sous-espace fermé de  $H^1(\Omega)$ .

### 2.2 Maillages

Le maillage du problème se fait comme dans la partie précédente. Il faut cependant ne pas oublier de donner une référence différente pour les noeuds du bord.



## 2.3 Discrétisation

Soit  $\mathcal{T}_h$  une triangulation du domaine  $\Omega$ , et  $V_h$  l'approximation de  $H^1(\Omega)$  par des éléments finis  $P^1$  associé à la triangulation  $\mathcal{T}_h$ . On note  $(T_l)_{l=1,L}$  les triangles de  $\mathcal{T}_h$ ,  $(M_I)_{I=1,N}$  les sommets des triangles  $(w_I)_{I=1,N}$  la base de  $V_h$  définie par  $w_I(M_J) = \delta_{IJ}$ ,  $1 \leq I, J \leq N$ .

Pour définir une approximation interne de  $H_0^1(\Omega)$ , on procède de la façon suivante. On suppose que les noeuds de la frontière  $\partial\Omega$  ont une référence de 1 ( $M_I$  est sur le bord si  $Refneu(I) \geq 1$ ) et que les noeuds à l'intérieur ont une référence 0 ( $M_I$  est à l'intérieur si  $Refneu(I) = 0$ ). On introduit :

$$V_h^0 = Vect(w_I, \text{ tel que } Refneu(M_I) = 0)$$

Soit  $N_0$  la dimension  $V_h^0$ . Par construction,  $V_h^0 \subset H_0^1(\Omega)$ . La solution approchée  $u_h$  s'écrit sous la forme

$$\forall (x, y) \in \overline{\Omega}, u_h(x, y) = \sum_{I, Refneu(M_I)=0} u_h(M_I) w_I(x, y)$$

De même que pour Neumann, on peut écrire la formulation variationnelle discrète sous la forme d'un système linéaire équivalent.

$$\sum_{I, Refneu(M_I)=0} \sum_{J, Refneu(M_J)=0} \underbrace{a(w_I, w_J)}_{\mathbb{A}_{IJ}^0} \underbrace{u_h(M_I)}_{U_I^0} v_h(M_J) = \sum_{J, Refneu(M_J)=0} v_h(M_J) \underbrace{l(w_J)}_{L_J^0}$$

avec

$$a(w_I, w_J) = \underbrace{\int_{\Omega} w_I w_J d\Omega}_{\mathbb{M}_{IJ}^0} + \underbrace{\int_{\Omega} A \nabla w_I \cdot \nabla w_J d\Omega}_{\mathbb{K}_{IJ}^0}$$

Ainsi, on trouve le système linéaire suivant :

$$\mathbb{A}^0 \vec{U}^0 = \vec{L}^0 \quad (14)$$

où la  $I^{\text{ème}}$  composante du vecteur  $\vec{U}^0 \in \mathbb{R}^{N_0}$  vaut  $u_h(M_I)$  et avec  $\mathbb{A}^0 = \mathbb{M}^0 + \mathbb{K}^0$ , avec  $\mathbb{M}^0$  la matrice de masse, et  $\mathbb{K}^0$  la matrice de rigidité. Dans la pratique, on ne peut pas assembler directement la matrice intervenant dans 14

## 2.4 Assemblage des matrices et vecteur second membre

La routine `principal_dirichlet.m` est le programme principal pour résoudre le problème 13. Pour prendre en compte les conditions de Dirichlet, on reprend le code d'assemblage de `principal_neumann.m`. On introduit alors une matrice (creuse/sparse) de projection  $\mathbb{P}$  de  $V_h$  dans  $V_h^0$ , de taille  $N_0 \times N$  (qui ne contient que des 1 et des 0). Il suffit ensuite d'écrire

$$\mathbb{A}^0 = \mathbb{P} A \mathbb{P}^t, \text{ et } \vec{L}^0 = \mathbb{P} \vec{L}$$

Si les noeuds sont triés de sorte que les noeuds du bord soit au début de *Refneu*, alors la matrice  $\mathbb{P}$  est de la forme :

$$\mathbb{P} = \begin{bmatrix} 0_{N_0 \times (N-N_0)} & I_{N_0 \times N_0} \end{bmatrix}$$

On trouve alors  $\vec{U}^0$  solution de l'équation suivante :

$$\mathbb{A}^0 \vec{U}^0 = \vec{L}^0$$

On retrouve  $\vec{U}$  à l'aide de la transformation inverse :

$$\vec{U} = \mathbb{P}^t \vec{U}^0$$

## 2.5 Validation du code

On veut vérifier que le code calcule une solution approchée  $u_h$  correct. Pour cela, on résout le problème 13 avec un tenseur  $A$  et une solution  $u$ . On choisit par exemple  $u(x, y) = \sin(\pi x) \sin(2\pi y)$  et  $A = I_2$ . On prend donc  $f(x, y) = (1 + 5\pi^2) \sin(\pi x) \sin(2\pi y)$ .

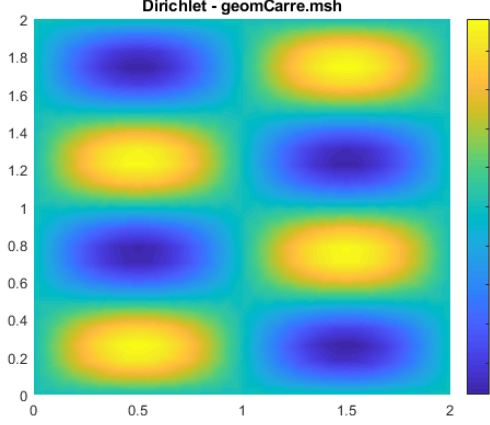


Figure 8: Résultats de la méthode des éléments finis avec des conditions aux limites de type Dirichlet pour  $h = 0.1$

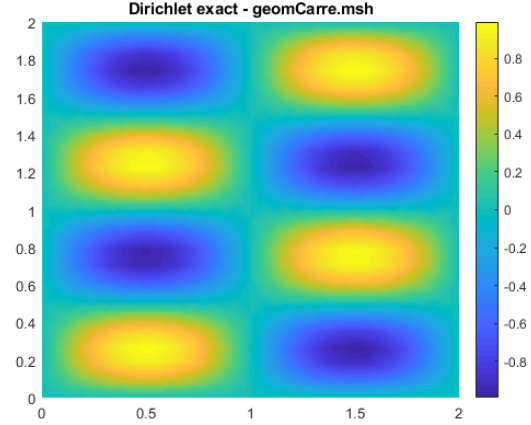


Figure 9: Solution exact du cas test

Les figures 8 et 9 permettent d'attester visuellement de la convergence de la méthode dans le cas de conditions au limites de type Dirichlet.

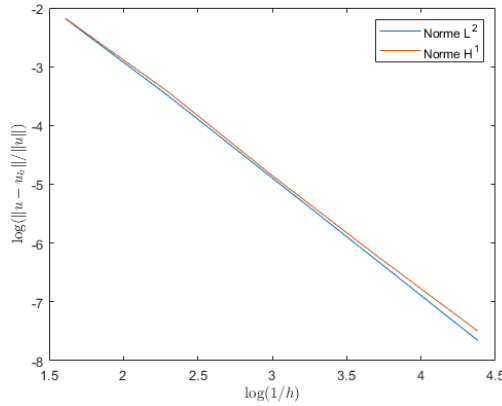


Figure 10:  $\log(\|u - u_h\|_{L^2(\Omega)} / \|u\|_{L^2(\Omega)})$  et  $\log(|u - u_h|_1 / |u|_1)$  en fonction de  $\log(1/h)$

On trouve pour les erreurs  $\|u - u_h\|_{L^2(\Omega)}^2 \simeq 8.5616e - 04$  et  $\|u - u_h\|_{H^1(\Omega)}^2 \simeq 0.0507$ . On peut de même afficher les relations  $\log(1/h) \rightarrow \log(\|u - u_h\|_{L^2(\Omega)} / \|u\|_{L^2(\Omega)})$  et  $\log(1/h) \rightarrow \log(|u - u_h|_1 / |u|_1)$ . La figure 10 présente ces relation. On voit bien ici que l'erreur décroît avec le pas du maillage. Cependant, il est intéressant de déterminé la vitesse de convergence. Pour cela, il suffit de regarder la pente des courbes d'erreurs. La pente de la courbe d'erreur pour la norme  $L^2$  est  $-1.9785$  et la pente de la courbe d'erreur pour la norme  $H^1$  est  $-1.9329$ . Autrement dit, l'erreur est contrôlé par la norme de la solution et par  $h^2$ . Quand on divise le pas du maillage par 2, on divise l'erreur par 4.

### 3 Conditions périodiques

#### 3.1 Formulation variationnelle

Soit  $\Omega = [0, L]^2$  un carré de taille  $L$ , on s'intéresse à la résolution numérique du problème de Poisson avec condition aux limites périodiques et coefficients variables :

Trouver  $u \in H^1(\Omega)$  telle que

$$\begin{cases} u - \nabla \cdot (A(x, y) \nabla u) = f \text{ dans } \Omega \\ u|_{x=0} = u|_{x=L} \text{ et } u|_{y=0} = u|_{y=L} \\ A(x, y) \nabla u \cdot e_x|_{x=0} = A(x, y) \nabla u \cdot e_x|_{x=L} \text{ et } A(x, y) \nabla u \cdot e_y|_{y=0} = A(x, y) \nabla u \cdot e_y|_{y=L} \end{cases} \quad (15)$$

Le problème se réécrit sous forme variationnelle :

Trouver  $u \in \dot{H}_{\#}^1(\Omega)$  telle que

$$\forall v \in \dot{H}_{\#}^1(\Omega), \quad \underbrace{\int_{\Omega} uv d\Omega + \int_{\Omega} A \nabla u \cdot \nabla v d\Omega}_{a(u, v)} = \underbrace{\int_{\Omega} f v d\Omega}_{l(v)} \quad (16)$$

On montre comme pour le problème de Neumann que 16 est bien posé.  $\dot{H}_{\#}^1(\Omega)$  est un espace de Hilbert en tant que sous espace fermé de  $H^1(\Omega)$

#### 3.2 Discrétisation

Soit  $\mathcal{T}_h$  une triangulation **périodique** du domaine  $\Omega$ , et  $V_h$  l'approximation de  $H^1(\Omega)$  par des éléments finis  $P^1$  associés à la triangulation  $\mathcal{T}_h$ . On note  $(T_l)_{l=1, L}$  les triangles de  $\mathcal{T}_h$ ,  $(M_I)_{I=1, N}$  les sommets des triangles et  $(w_I)_{I=1, N}$  la base  $V_h$  définie par  $w_I(M_J) = \delta_{IJ}$ ,  $1 \leq I, J \leq N$ . La triangulation est périodique si

- $M_I$  est un noeud appartenant au bord droit si et seulement si il existe un noeud  $M_J$  appartenant au bord gauche ayant la même ordonnée.
- $M_I$  est un noeud appartenant au bord bas si et seulement si il existe un noeud  $M_J$  appartenant au bord haut ayant la même abscisse.

Pour définir une approximation interne de  $\dot{H}_{\#}^1(\Omega)$ , on procède de la façon suivante :

1. Tout d'abord, toutes les fonctions de base correspondant à des noeuds intérieurs sont dans l'espace d'approximation  $V_h^{\#}$  (elles sont nulles au bord donc en particulier périodiques)
2. ensuite pour tout noeud  $M_I$  de la frontière  $x = 0$ , on sait qu'il existe un noeud  $M_J$  de la frontière  $x = L$  ayant la même ordonnée : la somme des 2 fonctions de base correspondantes est dans l'espace d'approximation  $V_h^{\#}$
3. et pour tout noeud  $M_I$  de la frontière  $y = 0$ , on sait qu'il existe un noeud  $M_J$  de la frontière  $y = L$  ayant la même abscisse : la somme des 2 fonctions de base correspondantes est dans l'espace d'approximation  $V_h^{\#}$
4. signalons enfin le cas particulier des noeuds du coin pour lequel c'est la somme des 4 fonctions de base correspondantes qui est dans l'espace d'approximation  $V_h^{\#}$

Par construction,  $V_h^{\#} \subset H_{\#}^1(\Omega)$ . Si les noeuds sont triés de sorte que les noeuds du bord soient au début de *Refneu*, avec en premier les quatre sommets, puis les côtés 1, 2, 3 et 4 dans le sens des aiguilles d'une montre. On note  $N_b$  le nombre de noeud sur un bord (sans les sommets), on suppose que chaque face à le

même nombre de noeuds. On note comme dans la partie précédente  $N_0$  le nombre de sommet intérieur. La matrice  $\mathbb{P}$  est de la forme :

$$\mathbb{P} = \underbrace{\begin{bmatrix} 1_{1 \times 4} & 0_{1 \times N_b} & 0_{1 \times N_b} & 0_{1 \times N_b} & 0_{1 \times N_b} & 0_{1 \times N_0} \\ 0_{N_b \times 4} & I_{N_b} & 0_{N_b \times N_b} & AI_{N_b} & 0_{N_b \times N_b} & 0_{N_b \times N_0} \\ 0_{N_b \times 4} & 0_{N_b \times N_b} & I_{N_b} & 0_{N_b \times N_b} & AI_{N_b} & 0_{N_b \times N_0} \\ 0_{N_0 \times 4} & 0_{N_0 \times N_b} & 0_{N_0 \times N_b} & 0_{N_0 \times N_b} & 0_{N_0 \times N_b} & I_{N_0} \end{bmatrix}}_{N_0 + 4N_b + 4 = Nbpt}$$

où  $AI$  est la matrice avec des 1 sur l'anti-diagonale uniquement. La routine `principal_periodique.m` est le programme principal pour résoudre le problème 16.

### 3.3 Validation du code

On peut alors tester le code dans un cas simple en prenant par exemple  $A = 1$  et  $u(x, y) = \sin(\pi x + \pi/2) \sin(\pi y + \pi/2)$ . Il faut donc prendre  $f(x, y) = (1 + 2\pi^2) \sin(\pi x + \pi/2) \sin(\pi y + \pi/2)$ .

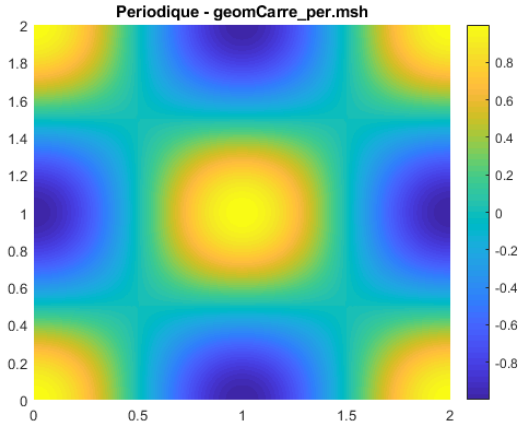


Figure 11: Résultats de la méthode des éléments finis avec des conditions aux limites périodique pour  $h = 0.1$

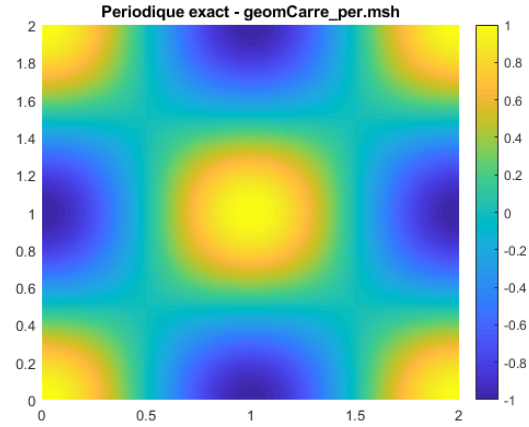


Figure 12: Solution exact du cas test

Les figures 11 et 12 permettent d'attester visuellement de la convergence de la méthode dans le cas de conditions aux limites périodiques. On peut aussi afficher les relations  $\log(1/h) \rightarrow \log(\|u - u_h\|_{L^2(\Omega)} / \|u\|_{L^2(\Omega)})$  et  $\log(1/h) \rightarrow \log(|u - u_h|_1 / |u|_1)$ . La figure 13 atteste bien que lorsque  $h$  diminue, l'erreur diminue. Autrement dit l'erreur est contrôlée par  $h$  et la norme de la solution. Ce qui est intéressant ici c'est de calculer la pente de la courbe d'erreur afin de déterminer la vitesse de décroissance de l'erreur. La pente pour la norme  $L^2$  est  $-1.9903$  et la pente pour la semi-norme  $H^1$  est  $-1.6586$ .

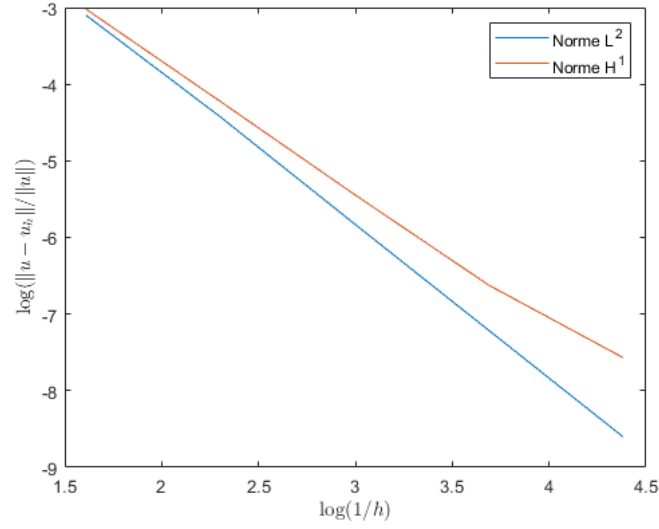


Figure 13:  $\log(\|u - u_h\|_{L^2(\Omega)} / \|u\|_{L^2(\Omega)})$  et  $\log(\|u - u_h\|_{H^1} / \|u\|_{H^1})$  en fonction de  $\log(1/h)$

## Conclusion

Ce projet a pour but d'implémenter la méthode des éléments finis pour 3 type de conditions aux limites (Neumann, Dirichlet et Périodique). On alors pue comprendre comment ces méthodes fonctionnent ainsi qu'attester de leur convergence. Ce projet est une introduction au projet 2 qui a pour but d'implémenter la méthode des éléments finis dans le cadre d'un système double échelle.